

# 写像変換を用いたエレメントフリー解析

信州大学大学院

信州大学工学部

信州大学工学部

○野町直秀

大上俊之

小山 茂

## 1. はじめに

近年、要素分割を必要としないエレメントフリー ガラーキン法(EFGM)に関する研究が工学のさまざま分野で行われている<sup>1)</sup>。EFGMは関数近似に移動最小二乗法(MLSM)を用いることによりメッシュレス化を可能としている手法であるが、基本境界条件処理が複雑になるといった問題がある。

本研究では、写像平面上でエレメントフリー解析を行うことにより、基本境界条件を直接処理でき、曲線境界を有する形状の問題に対して適用できるエレメントフリー法を提案する。

## 2. 写像変換と内挿関数

パラメータ  $t$  によって決まる関数を  $u(t)$ 、内挿関数を  $\psi_i(t)$  とすると、 $i = 0 \sim n$  の  $n+1$  個の  $u_i$  を通る近似関数  $u^h(t)$  は

$$u^h(t) = \sum_{i=0}^n \psi_i(t) u_i \quad (1)$$

と表すことができる。2次元の場合は、図-1に示すように領域の境界に沿ってパラメータ  $t_1$ ,  $t_2$  を導入すれば、写像変換することによって図-2のように直交格子が得られる。空間内に与えられた  $(n_1 + 1) \times (n_2 + 1)$  個の点を通る平面  $(x, y)$  は  $t_1$ ,  $t_2$  の関数として次式によって表すことができる。

$$\left. \begin{aligned} x(t_1, t_2) &= \sum_{i=0}^{n_1} \sum_{j=0}^{n_2} \psi_i(t_1) \psi_j(t_2) x_{ij} \\ y(t_1, t_2) &= \sum_{i=0}^{n_1} \sum_{j=0}^{n_2} \psi_i(t_1) \psi_j(t_2) y_{ij} \end{aligned} \right\} \quad (2)$$

ここに  $x_{ij} = x(i, j)$ ,  $y_{ij} = y(i, j)$ ,  $t_1$ ,  $t_2$  は、それぞれ、 $0 \leq t_1 \leq n_1$ ,  $0 \leq t_2 \leq n_2$  を満たす実数である。変位  $u$ ,  $v$  の関数近似に対しても内挿関数  $\psi_i(t)$  を適用することにより、関数値  $u(t_{1i}, t_{2j})$ ,  $v(t_{1i}, t_{2j})$  が節点の変位値  $u_{ij}$ ,  $v_{ij}$  を表すことになるので、基本境界条件の処理を FEM と同様の方法で行うことができる。

## 3. 写像平面上におけるエレメントフリー法

### (1) 節点積分法と積分重みの配分

計算効率の向上を図るために領域積分を節点で評価する節点積分法(NBNM)<sup>2)</sup>を適用する。NBNM では、剛性を数値的に評価するための積分点と節点を

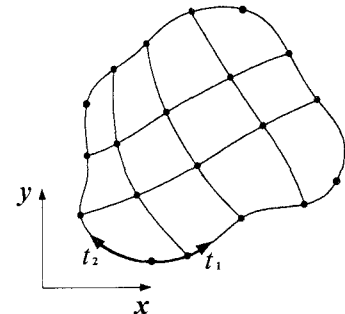


図-1 実平面上

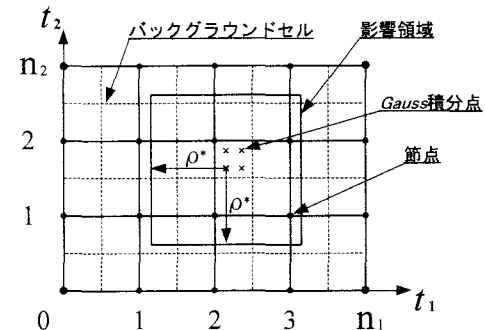


図-2 写像平面上

一致させることにより計算時間を短縮することができる。通常、節点積分法では積分の重みを節点に配分する作業が繁雑となるが、本手法では解析領域を節点間隔が 1 の矩形格子状の領域に写像変換しているため、各節点に配分する重みが領域内部点では 1, 境界上では 0.5, 隅角部では 0.25 となり、節点位置に応じて自動的に設定することが可能となる(図-3)。

### (2) 剛性マトリックスの作成

EFGMによる定式化はFEMの定式化とほぼ同じであり、弾性問題の剛性マトリックスは、形式的にはFEMと同様に以下のようない形で求めることができる。

$$\mathbf{K} = \iint_{\Omega} \mathbf{B}^T \mathbf{D} \mathbf{B} dx dy \quad (3)$$

ここに、 $\Omega$  は実平面における領域、 $\mathbf{K}$  は剛性マトリックス、 $\mathbf{B}$  はひずみ変位マトリクス、 $\mathbf{D}$  は応力ひずみマトリクスである。式(3)を写像平面  $(t_1, t_2)$  座標に変換し、そこに節点積分を適用することにより  $\mathbf{K}$  が以下

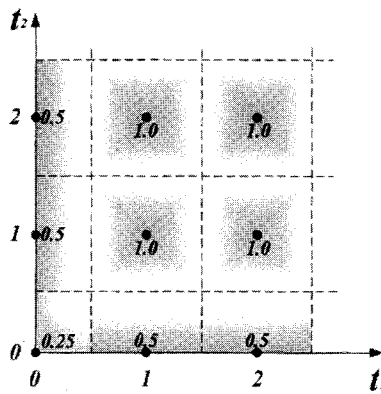


図-3 本手法における積分重みの配分

のように得られる。

$$\begin{aligned} \mathbf{K} &= \iint_{\Omega^*} \mathbf{B}^{*T} \mathbf{D} \mathbf{B}^* |J_D| dt_1 dt_2 \\ &= \iint_{\Omega^*} F^*(t_1, t_2) dt_1 dt_2 \\ &= \sum_{I=1}^{NP} F^*(t_{1I}, t_{2I}) W_I \end{aligned} \quad (4)$$

ここに、 $\Omega^*$ は写像平面における領域、 $\mathbf{B}^*$ は写像平面上で求めた $\mathbf{B}$ を示し、 $|J_D|$ はヤコビアン、 $NP$ は解析領域内に分布する総節点数、 $W_I$ は節点 $I$ についての領域積分のための重みである。

### (3) 剛性評価における安定化

NBNMでは1点積分による積分精度の低下が考えられる。その対策としてTaylor級数展開による安定化を図る。すなわち、 $F^*(t_{1I}, t_{2I})$ を節点 $I$ を基準とした座標でTaylor展開し、式(4)に代入することにより数値解の精度を改善する。

$$\begin{aligned} \mathbf{K} &= \sum_{I=1}^{NP} \left[ F^*(t_{1I}, t_{2I}) W_I + \right. \\ &\quad \iint_{\Omega_I^*} \left\{ \frac{\partial}{\partial t_1} F^*(t_1, t_2) \Big|_{(t_{1I}, t_{2I})} (t_1 - t_{1I}) \right. \\ &\quad \left. + \frac{\partial}{\partial t_2} F^*(t_1, t_2) \Big|_{(t_{1I}, t_{2I})} (t_2 - t_{2I}) \right\} d\Omega_I^* \right] \end{aligned} \quad (5)$$

ここに、 $\Omega_I^*$ は節点 $I$ の周辺に設定された領域を表す。

## 4. 解析例

図-4に示すような一様な圧力を受ける厚肉円筒モデルを対象とし、対称性より1/4部分を解析する。影響領域を $\rho^* = 3, 4$ とし、比較のためのEFGMでは数値積分に $3 \times 3$ のGauss積分を用いた。図-6は $r = 4cm$ における $\sigma_r$ の誤差分布を示している。EFGMに比べNBNMでは影響領域の大きさが解析結果へ与える影響が大きいことが分かる。NBNMとEFGMの計算時間の比較を表-1に示す。

影響が大きいことが分かる。NBNMとEFGMの計算時間の比較を表-1に示す。

## 5. おわりに

簡単な数値計算例を通して本手法が曲線境界を有する2次元弾性問題に適用可能であることが示された。安定化を考慮したNBNMの解析結果については、当日報告する予定である。

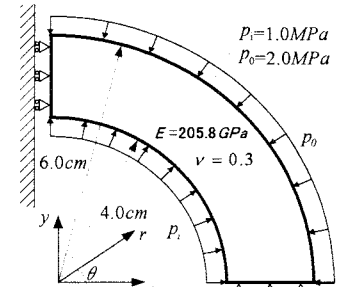


図-4 厚肉円筒モデル

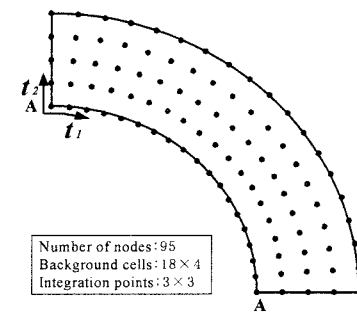


図-5 節点配置(実平面)

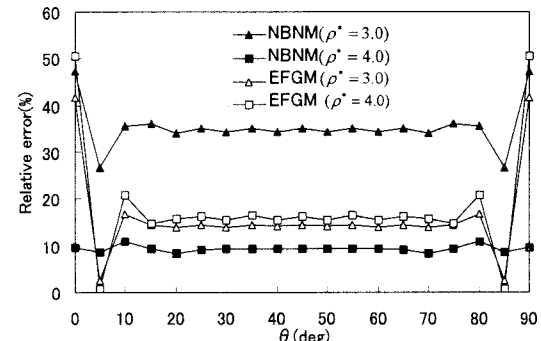
図-6 A-A線上の $\sigma_r$ の誤差分布

表-1 NBNMとEFGMの計算時間の比較(sec)

	$\rho^* = 3.0$	$\rho^* = 4.0$
NBNM	0.22	0.30
EFGM	1.96	2.98

## 参考文献

- 1) 鈴木克幸他：特集 メッシュレス法、計算工学、Vol.7, No.1, 2-23, 2002
- 2) 長嶋利夫他：節点単位の処理に基づくメッシュレス法の開発(定式化および二次元弾性問題への適用)，機論A, 62-603, 2474-2480, 1996.